



# **Classificação de Risco de Vulnerabilidades de Segurança via Processos Gaussianos e Aprendizado Ativo**



**UNIVERSIDADE  
FEDERAL DO CEARÁ**

Davyson S. Ribeiro, Rafael Lemos, Francisco  
R. P. da Ponte, César Lincoln C. Mattos,  
Emanuel B. Rodrigues

# Agenda

- Motivação
- Contribuição
- Conceitos
- Conjunto de Dados
- Estrutura do Modelo
- Estratégias de Seleção de Amostras
- Cenários Experimentais e Resultados
- Conclusões

# Motivação

- Importância da Gestão de Vulnerabilidades
- Desafios na Rotulagem de Vulnerabilidades

# Contribuição

- Investigar a viabilidade de utilizar **Processos Gaussianos** combinados com **Aprendizado Ativo** para classificar vulnerabilidades de segurança quanto ao risco de exploração.

# Contribuição

Tabela 1: Comparação entre os trabalhos relacionados e o presente artigo.

	<b>Deteção de Vulnerabilidades</b>	<b>Classificação de Risco</b>	<b>Classificadores de Aprendizizado de Máquina</b>	<b>Medição de Incerteza - Aprendizizado Ativo</b>
Kashyap et al. [2022]	✓		GPR	
Sun et al. [2023]	✓		Bert, Bert-AL Bert-SSL, ASSBert	Entropy
Kure et al. [2022]		✓	KNN, NN, DT, RF LR, NBM, NB	
Elbaz et al. [2021]		✓	CRFs	Least Confident
Ponte et al. [2023a]		✓	RF, GB, RL SVC, MLP	Entropy
Este Trabalho		✓	GP	Entropy, Least Confident, BSB, GPLCB, Random

# Conceitos

- Processos Gaussianos:
  - Métodos de aprendizado supervisionado não paramétricos que modelam distribuições probabilísticas sobre funções

# Conceitos

- **Aprendizado Ativo:**
  - Técnica que permite ao modelo selecionar as amostras mais informativas para rotular, minimizando a quantidade de dados rotulados necessários

# Conjunto de Dados

- CVEJoin<sup>1</sup>
  - Conjunto com mais de 200 mil amostras
  - 208 Amostras rotuladas por especialistas
  - 29 Atributos
  - 4 Classes de Riscos de Vulnerabilidades (Baixo, Moderado, Importante e Crítico)



# Estrutura do Aprendizado Ativo com Processos Gaussianos

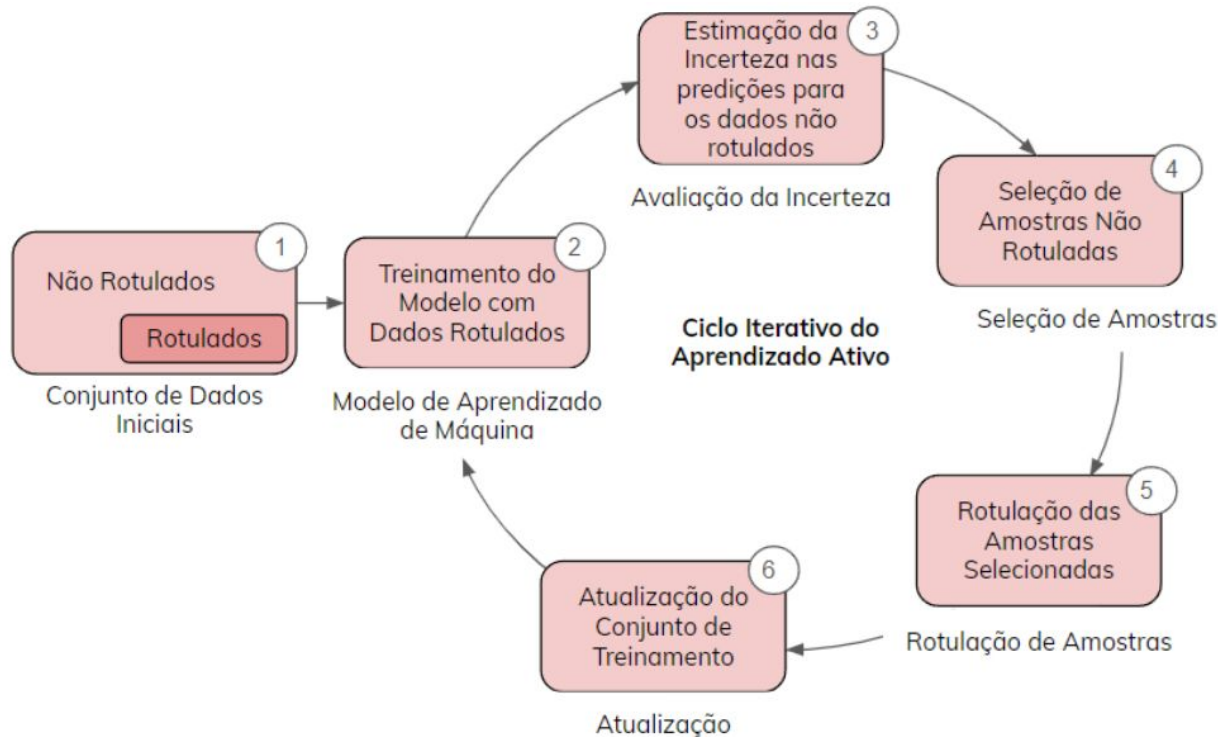


Figura 1: Ciclo iterativo do Aprendizado Ativo.

# Estratégias de Seleção de Amostras no Aprendizado Ativo

- Random
- Least Confident
- BSB (Best and Second Best)
- Entropy
- GPLCB (Gaussian Process Lower Confidence Bound)

# Avaliação do Modelo e Cenários Experimentais

Tabela 2: Configurações do Aprendizado Ativo usadas nos experimentos.

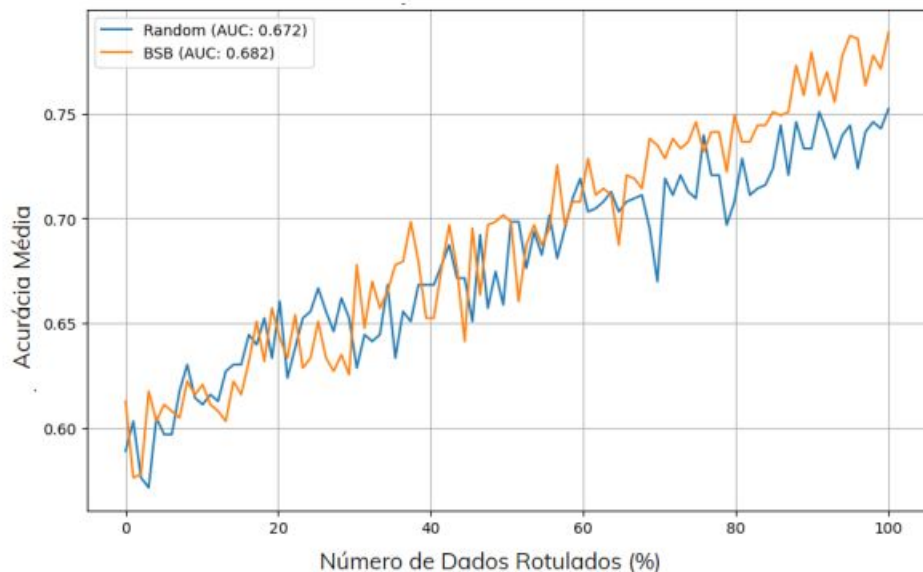
Configurações	Valor
Tamanho Inicial	$10 \times$ Número de classes
Iterações Ativas	Variação de acordo com o cenário
Seleção Ativa por Iteração	Variação de acordo com o cenário
Estratégias de Seleção	Random, Least Confident, Entropy, BSB, GPLCB
Número de repetições independentes	30
Divisão de dados (Treino/Teste)	90%/10%

# Cenários Experimentais

## Interações com Especialistas VS Quantidade de Vulnerabilidades Rotuladas

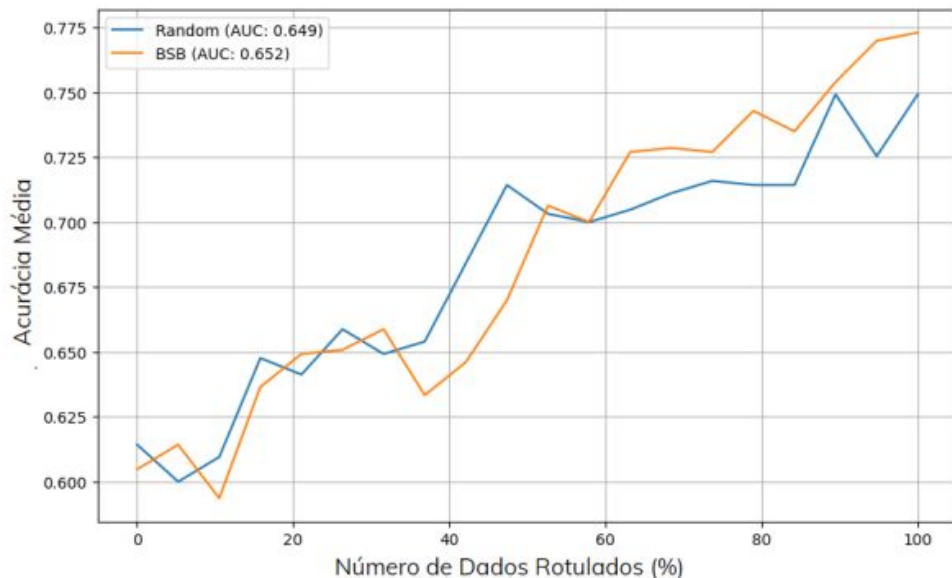
- Cenário I:
  - 100 iterações com 1 dado rotulado por vez
- Cenário II:
  - 20 iterações com 5 dados rotulados por vez
- Cenário III:
  - 10 iterações com 10 dados rotulados por vez

# Resultados Cenário I - Acurácia Média e AUC em função do número de dados rotulados



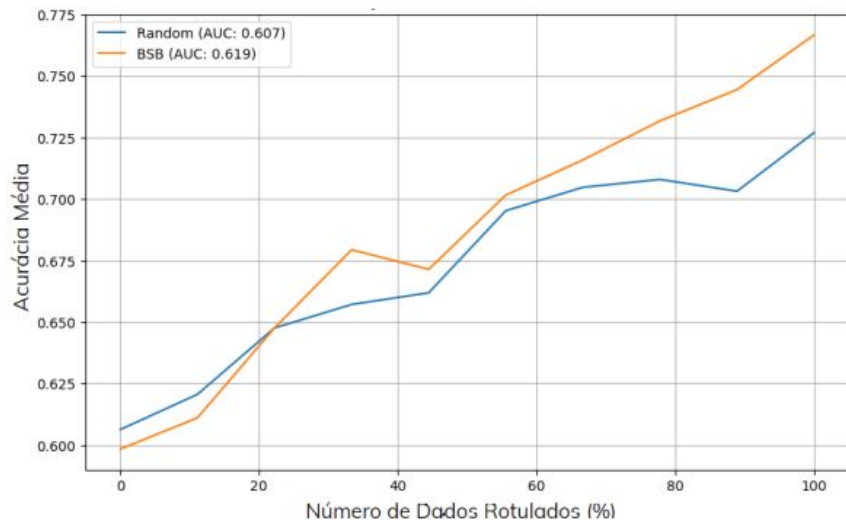
Estratégia	Acurácia $\mu \pm \sigma$	Precisão $\mu \pm \sigma$	Recall $\mu \pm \sigma$	F1-score $\mu \pm \sigma$
BSB	$0.78 \pm 0.05$	$0.83 \pm 0.06$	$0.78 \pm 0.05$	$0.78 \pm 0.06$
Entropy	$0.77 \pm 0.05$	$0.86 \pm 0.06$	$0.77 \pm 0.05$	$0.77 \pm 0.06$
GPLCB	$0.76 \pm 0.05$	$0.80 \pm 0.02$	$0.76 \pm 0.06$	$0.76 \pm 0.07$
Least Confident	$0.78 \pm 0.04$	$0.82 \pm 0.06$	$0.77 \pm 0.04$	$0.78 \pm 0.05$
Random	$0.75 \pm 0.05$	$0.78 \pm 0.06$	$0.75 \pm 0.05$	$0.74 \pm 0.06$

# Resultados Cenário II - Acurácia Média e AUC em função do número de dados rotulados



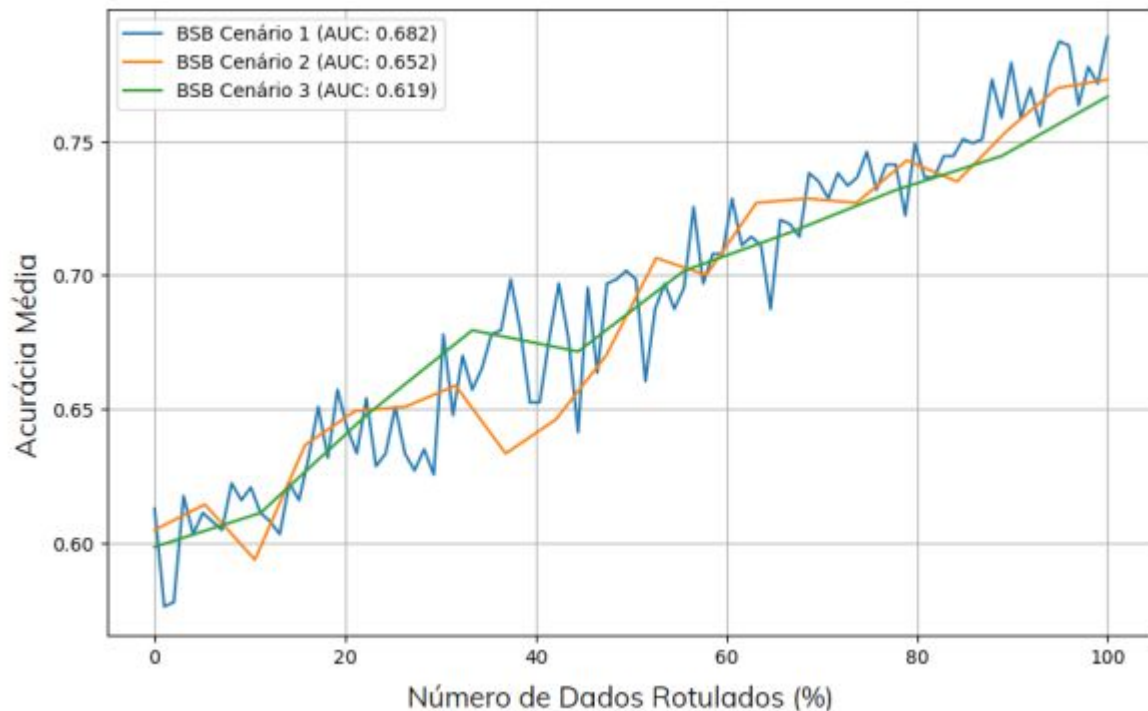
Estratégia	Acurácia $\mu \pm \sigma$	Precisão $\mu \pm \sigma$	Recall $\mu \pm \sigma$	F1-score $\mu \pm \sigma$
BSB	$0.77 \pm 0.05$	$0.73 \pm 0.06$	$0.77 \pm 0.05$	$0.76 \pm 0.06$
Entropy	$0.76 \pm 0.05$	$0.72 \pm 0.06$	$0.76 \pm 0.05$	$0.75 \pm 0.06$
GPLCB	$0.75 \pm 0.05$	$0.74 \pm 0.02$	$0.75 \pm 0.06$	$0.75 \pm 0.07$
Least Confident	$0.75 \pm 0.04$	$0.72 \pm 0.06$	$0.75 \pm 0.04$	$0.75 \pm 0.05$
Random	$0.74 \pm 0.05$	$0.72 \pm 0.06$	$0.74 \pm 0.05$	$0.74 \pm 0.06$

# Resultados Cenário III - Acurácia Média e AUC em função do número de dados rotulados



Estratégia	Acurácia $\mu \pm \sigma$	Precisão $\mu \pm \sigma$	Recall $\mu \pm \sigma$	F1-score $\mu \pm \sigma$
BSB	$0.76 \pm 0.05$	$0.74 \pm 0.07$	$0.76 \pm 0.05$	$0.76 \pm 0.06$
Entropy	$0.74 \pm 0.05$	$0.74 \pm 0.07$	$0.74 \pm 0.05$	$0.74 \pm 0.06$
GPLCB	$0.74 \pm 0.05$	$0.76 \pm 0.07$	$0.74 \pm 0.05$	$0.73 \pm 0.06$
Least Confident	$0.76 \pm 0.05$	$0.74 \pm 0.07$	$0.76 \pm 0.05$	$0.75 \pm 0.04$
Random	$0.72 \pm 0.04$	$0.71 \pm 0.07$	$0.72 \pm 0.04$	$0.72 \pm 0.04$

# Resultados Final (BsB)- Acurácia Média e AUC em função do número de dados rotulados





# Considerações finais

- Otimização do processo de classificação de vulnerabilidades de segurança
- Importância da Incerteza nas previsões é crucial para guiar o processo de rotulagem
- As estratégias BSB e Entropia provaram obter melhores resultados

# Trabalhos futuros

- Estender a metodologia para outros domínios de cibersegurança
- Explorar a combinação de redes neurais combinadas com aprendizado ativo para lidar com cenários ainda mais complexos

# Obrigado!

Davyson S. Ribeiro  
Rafael Lemos,  
Francisco R. P. da Ponte,  
César Lincoln C. Mattos,  
Emanuel B. Rodrigues.

davysonribeiro@alu.ufc.br  
emanuel@dc.ufc.br



# Equações de Estratégias de Seleção

- Random: Seleciona de Forma Aleatória
- Least Confident: É dado pelo complemento da maior probabilidade média entre as classes

$$lc(\mathbf{x}_*) = 1 - P(y_* = c_* | \mathbf{x}_*).$$

- BSB: Considera a diferença entre as duas maiores probabilidades preditas para cada amostra.

$$\Delta(\mathbf{x}_*) = P(y = c_1 | \mathbf{x}_*) - P(y = c_2 | \mathbf{x}_*).$$

# Equações de Estratégias de Seleção

- **Entropia:** Quantifica a incerteza associada a uma distribuição de probabilidade

$$H(\mathbf{x}_*) = - \sum_c P(y = c \mid \mathbf{x}_*) \log P(y = c \mid \mathbf{x}_*).$$

- **GPLCB:** Estima a incerteza ao considerar a média das probabilidades preditivas e o desvio padrão associado.

$$\text{GPLCB}(\mathbf{x}_*) = 1 - (P(y = c_* \mid \mathbf{x}_*) - \beta \sigma_c(\mathbf{x}_*)),$$